

## Přednáška #12: Paralelní algoritmy pro lineární algebru

### Základní definice

- $(m \times n)$ -matice:

$$\mathcal{A} = (a_{ij}) = \begin{bmatrix} a_{11} & \dots & a_{1n} \\ \vdots & & \vdots \\ a_{m1} & \dots & a_{mn} \end{bmatrix}$$

- $\mathcal{A}$  je **čtvercová**, je-li  $n = m$ , a jinak je **obdélníková**.
- Je-li  $\mathcal{A}$   $(m \times n)$ -matice, pak **transpozice**  $\mathcal{A}^T$  je  $(n \times m)$ -matice

$$\mathcal{A}^T = (a_{ji}) = \begin{bmatrix} a_{11} & \dots & a_{m1} \\ \vdots & & \vdots \\ a_{1n} & \dots & a_{mn} \end{bmatrix}$$

- **Sloupcový vektor**  $= (n \times 1)$ -matice (implicitně)

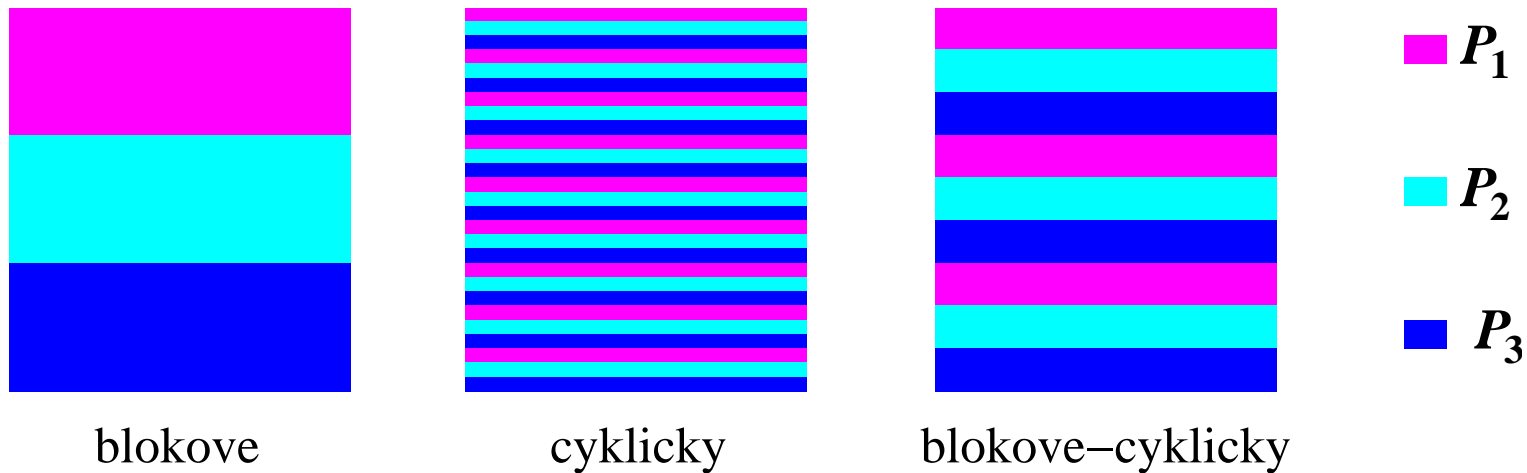
$$\vec{x} = \begin{bmatrix} x_1 \\ \vdots \\ x_n \end{bmatrix}$$

- **Řádkový vektor**  $\vec{x}^T = [x_1, \dots, x_n] = (1 \times n)$ -matice. skalární součin vektorů

## Proužkové mapování

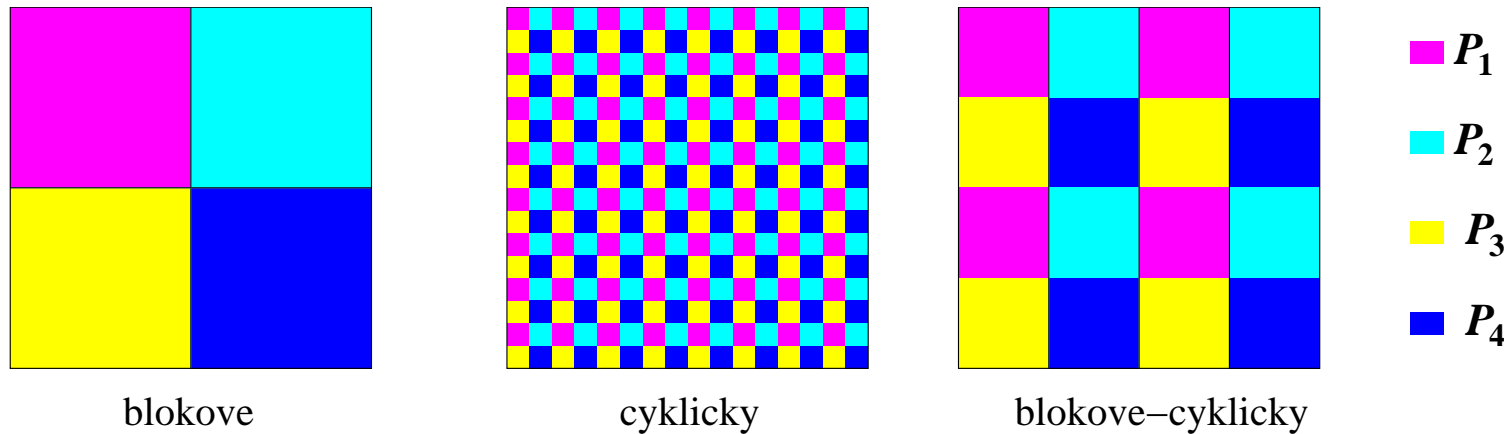
- Po řádcích nebo po sloupcích.
- Blokově, cyklicky, nebo blokově-cyklicky.

Příklad: Proužkové mapování  $(27 \times 27)$ -matice po řádcích na  $p = 3$  procesory  $P_1, P_2, P_3$ .



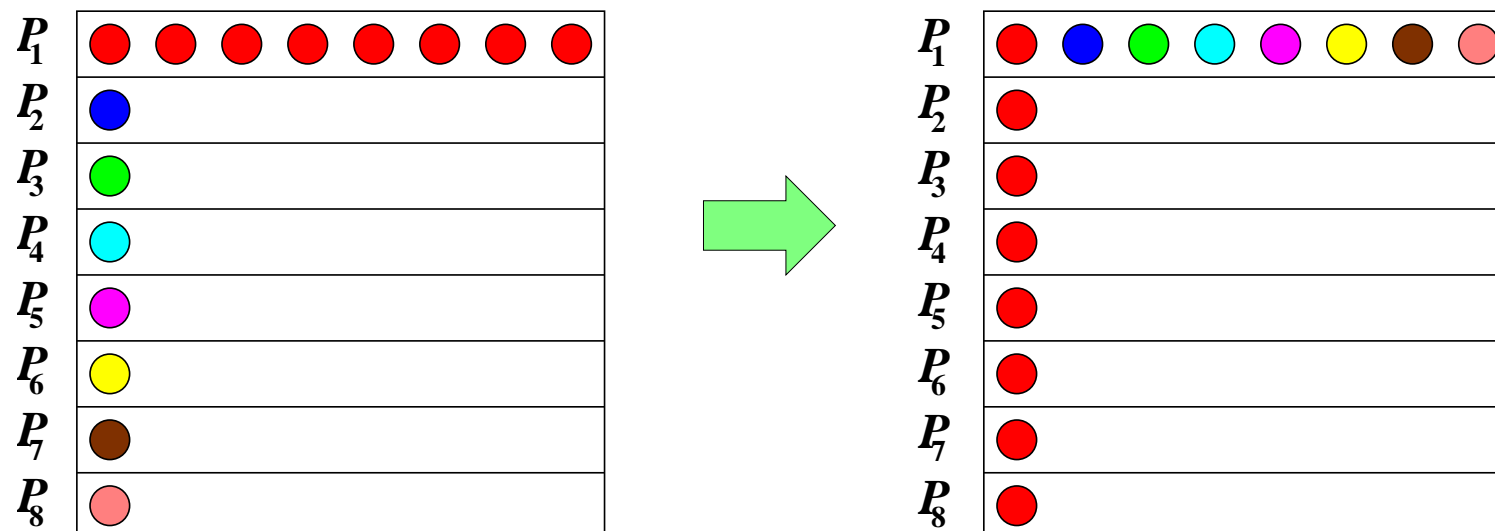
- Procesory tvoří **virtuální 1-D mřížku**  $M(p)$ .
- $p$  nedělí  $n \implies$  spodní proužky jsou užší.
- Všechna 3 mapování jsou **stejnoměrná**.
- $\frac{n}{p} \geq p \implies$  blokově  $\leftrightarrow$  cyklicky  $\equiv$  **AAS**.

- Procesory tvoří **virtuální 2-D mřížku**  $M(\sqrt{p}, \sqrt{p})$ .



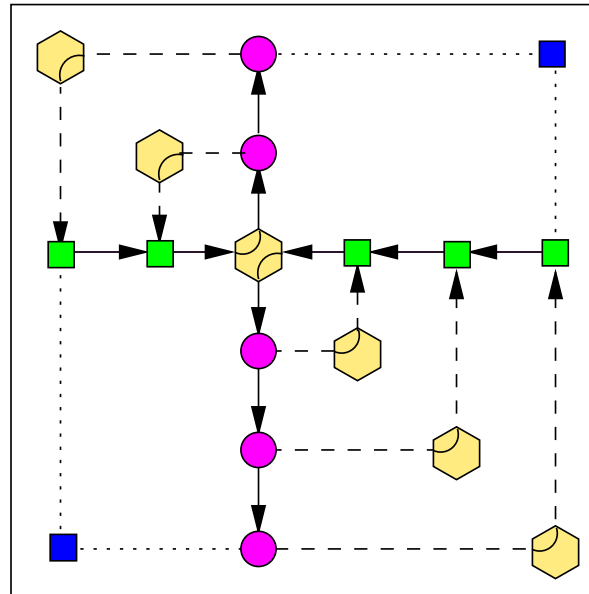
Šachovnicové mapování  $(16 \times 16)$ -matice na  $p = 2 \times 2$  procesory  $P_1 - P_4$ .

**Transpozice matice mapované proužkově = AAS**



## SF 2-D mřížka

SF všeportová  $M(\sqrt{p}, \sqrt{p})$  s XY směřováním,  $\mathcal{A} = (n \times n)$ -matice,  $N = n^2$

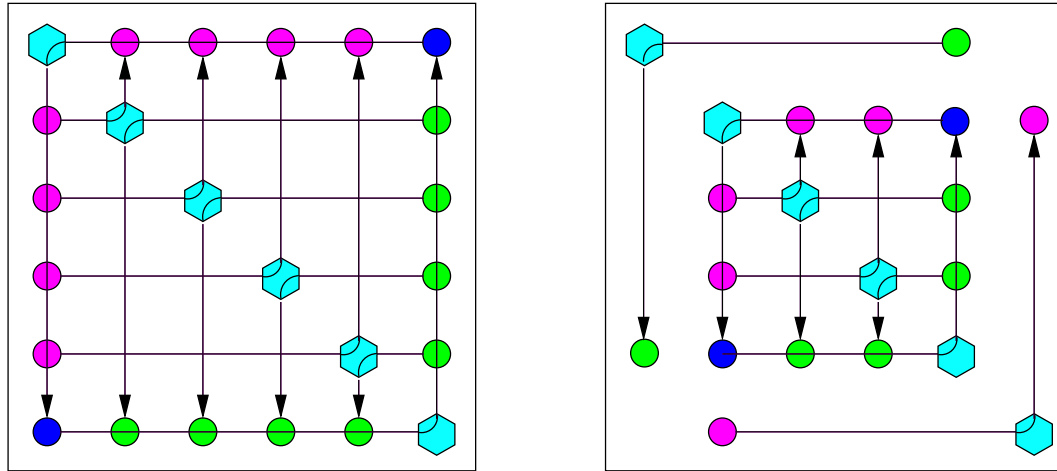


## Časová složitost a škálovatelnost

$$T(N, p) = t_s + 2(\sqrt{p} - 1) \frac{N}{p} t_m + O\left(\frac{N}{p}\right).$$

$$E(N, p) = \Theta\left(\frac{1}{\sqrt{p}}\right) \implies \psi_2(N) = 1!!!$$

- WH všeportová  $M(\sqrt{p}, \sqrt{p})$  s XY směřováním,  $\mathcal{A} = (n \times n)$ -matice,  $N = n^2$ .
- Blokově šachovnicově mapování  $\implies (\frac{n}{\sqrt{p}} \times \frac{n}{\sqrt{p}})$ -submatice na 1 procesor.



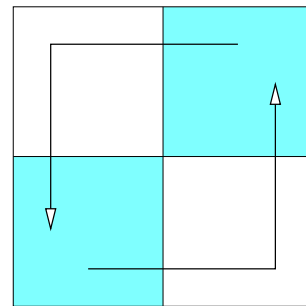
První 2 kroky transpozice matice na WH 2-D mřížce.

### Časová složitost a škálovatelnost

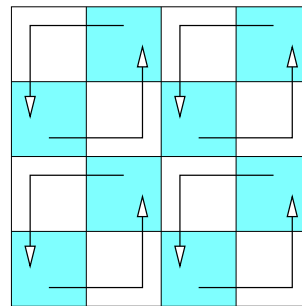
$$T(N, p) \doteq (\sqrt{p} - 1)(t_s + \sqrt{p}t_d + \frac{N}{p}t_m) + O\left(\frac{N}{p}\right).$$

$$E(N, p) = \Theta\left(\frac{1}{\sqrt{p}}\right) \implies \psi_2(N) = 1!!!$$

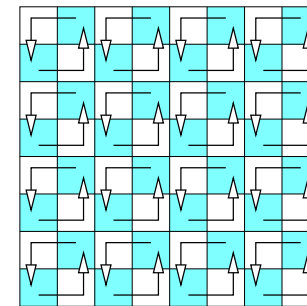
- $\mathcal{A} = (n \times n)$ -matice,  $N = n^2$ , poloduplexní SF jednoportová  $Q_q$  s e-cube směřováním.
- **Rekurzivní** algoritmus.
  - Fyzická hyperkrychle je vnořena do virtuální 2-D mřížky  $M(\sqrt{p}, \sqrt{p})$ , kde  $p = 2^q$ .
  - 1 krok = **výměna posunem** mezi diagonálně symetr. čtvrtinami matice (submatic).
  - Rekurze skončí na  $Q_2 =$  čtverec 4 procesorů



krok 1



krok 2



krok 3

## Časová složitost a škálovatelnost

$$T(N, p) = \left( t_s + 2 \frac{N}{p} t_m \right) \frac{q}{2} + O \left( \frac{N}{p} \right) = \left( \frac{t_s}{2} + \frac{N}{p} t_m \right) \log p + O \left( \frac{N}{p} \right).$$

$$E(N, p) = \Theta(1 / \log p) \implies \psi_2(N) = 1!!!$$

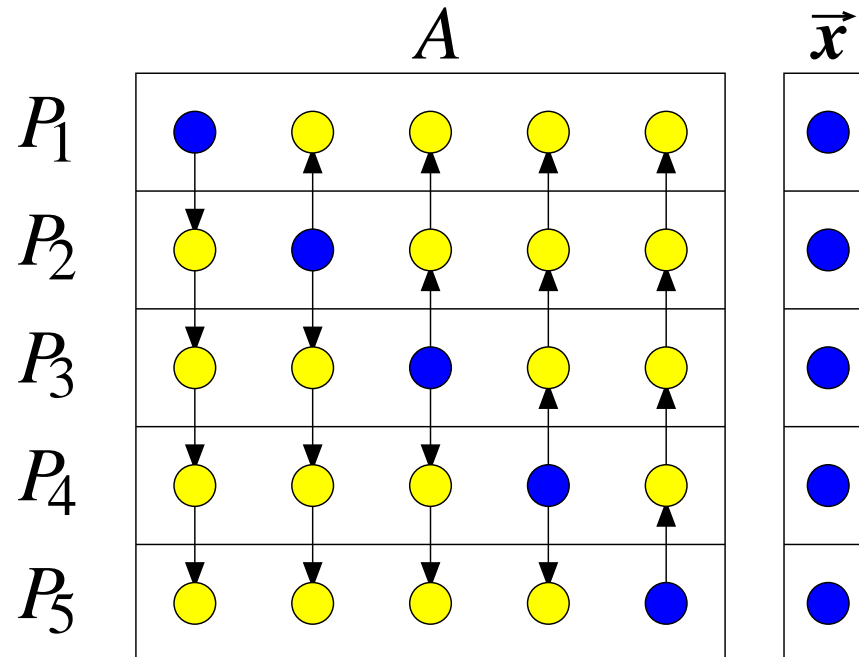
- WH  $Q_q$ : přibližně totéž.

## MVM: mapování po řádcích

- $\mathcal{A} = (n \times n)$ -matice a  $\vec{x}$  a  $\vec{y} = (n \times 1)$ -vektory mapované po řádcích na virtuální 1-D mřížku procesorů  $M(p)$ . Nechť  $N = n^2$  a  $r = \frac{n}{p}$ .

### Algoritmus ROWWISEMVM( $\mathcal{A}$ , $\vec{x}$ , $\vec{y}$ )

- Fáze 1:** Každý  $P_i$  pošle svůj subvektor  $\vec{x}_{(i-1)r+1}, \dots, x_{ir}$  všem ostatním procesorům (AAB).
- Fáze 2:** Každý  $P_i$  vypočte svůj subvektor  $\vec{y}_{(i-1)r+1}, \dots, x_{ir}$  sekvenčním provedením  $r$  skalárních součinů  $n$ -vektorů.



- Složitost fáze 2:  $T_2(N, p) = k_2 \frac{N}{p}$  ( $r$  skalárních součinů vektorů o délce  $n$ ).
- Složitost fáze 1: (AAB  $r$  čísel) závisí na topologii a HW propojovací síť.
  1. Plně-duplexní 2-portová SF  $M(p)$  a nekombinující AAB:  

$$T_1(N, p) = p(t_s + k_1 r) \doteq k_1 \sqrt{N}.$$
  2. Plně-duplexní 1-portová SF  $M(\sqrt{p}, \sqrt{p})$  a kombinující AAB: AAB po dimenzích  

$$T_1(N, p) = \sqrt{p}t_s + k_1 \sqrt{p}r + \sqrt{p}t_s + k_1 \sqrt{p}\sqrt{p}r \doteq k_1 \sqrt{N}.$$
  3. Plně-duplexní 4-portová SF  $M(\sqrt{p}, \sqrt{p})$  a nekombinující AAB: TADT metoda  

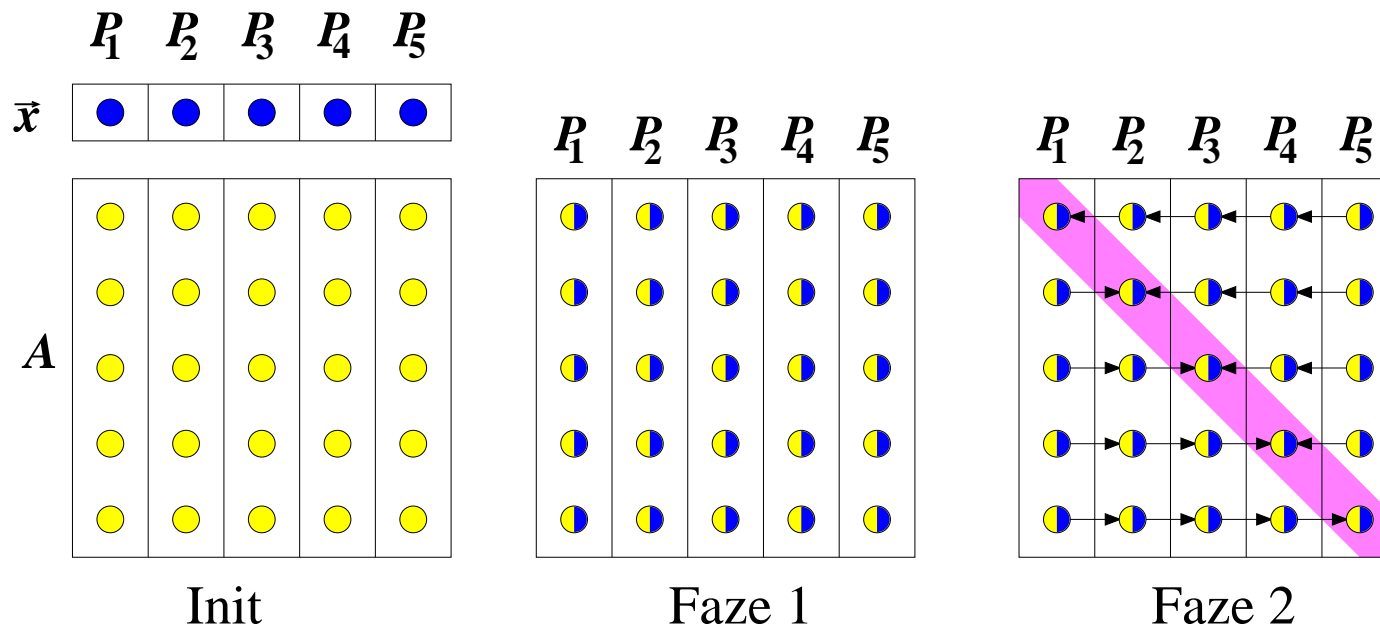
$$T_1(N, p) = \frac{p}{4}(t_s + k_1 r) \doteq \frac{k_1 \sqrt{N}}{4}.$$
  4. Hyperkrychle: podobně.
- Ve všech uvedených případech je  $T(N, p) = T_1(N, p) + T_2(N, p) \doteq k'_1 \sqrt{N} + k_2 \frac{N}{p}.$
- Čili  $E(N, p) = \frac{k_2 N}{k_2 N + k'_1 p \sqrt{N}} \geq E_0$  pro  $\sqrt{N} \geq \frac{E_0 k'_1}{(1-E_0)k_2} p$  a  $p \leq \frac{(1-E_0)k_2}{E_0 k'_1} \sqrt{N}$   
 $\implies$  vynikající škálovatelnost:  
 konstantní efektivnost lze dosáhnout i pro konstantní počet řádků  $\mathcal{A}$  na 1 procesor!!!



- $\mathcal{A} = (n \times n)$ -matice,  $\vec{x} = (n \times 1)$ -vektor, virtuální 1-D mřížka  $M(p)$  procesorů.
- Na počátku:  $P_i$  má **subvektor**  $x_{(i-1)r+1}, \dots, x_{ir}$  a **sloupce**  $(i-1)r+1, \dots, ir$  matice  $\mathcal{A}$ .
- Na konci:  $P_i$  má **subvektor**  $y_{(i-1)r+1}, \dots, y_{ir}$ .

## Algoritmus COLUMNWISEMVM( $\mathcal{A}$ , $\vec{x}$ , $\vec{y}$ )

- Fáze 1:** Každý  $P_i$  může okamžitě spočítat svůj příspěvek k  $\vec{y}$ .
- Fáze 2:** Všechny procesory zredukují všech  $p$  polí částečných skalárních součinů provedením  $p$  **redukcí** s operací  $+$  paralelně (redukce všech-se-všemi).

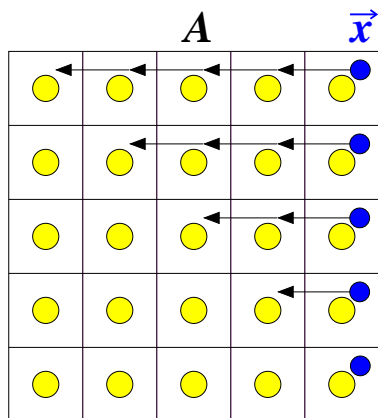


- Řádově stejná časová složitost i škálovatelnost jako v předchozím případě.

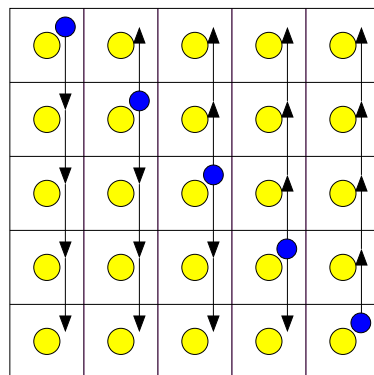
- $\mathcal{A} = (n \times n)$ -matice šachovnicově map. na virtuální  $M(\sqrt{p}, \sqrt{p})$ ,  $N = n^2$ .
- $\vec{x}, \vec{y} = (n \times 1)$ -vektory mapované na poslední sloupec mřížky  $M(\sqrt{p}, \sqrt{p})$

## Algoritmus CHECKERBOARDMVM( $\mathcal{A}, \vec{x}, \vec{y}$ )

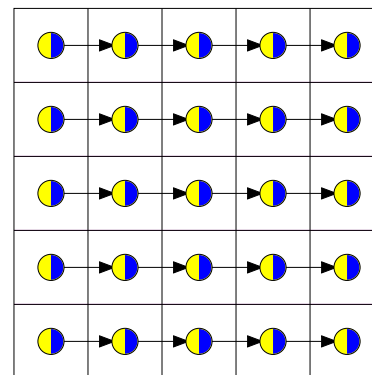
- Fáze 1:** **for all**  $i = 1, \dots, \sqrt{p}$  **do\_in\_parallel**  
pravý krajní procesor  $P_{i, \sqrt{p}}$  pošle svůj subvektor  $\vec{x}$  diagonálnímu  $P_{i, i}$ .
- Fáze 2:** **for all**  $i = 1, \dots, \sqrt{p}$  **do\_in\_parallel**  
 $P_{i, i}$  informuje o obdržení subvektoru  $\vec{x}$  svůj sloupec (OAB).
- Fáze 3:** **for all**  $i, j = 1, \dots, \sqrt{p}$  **do\_in\_parallel**  
 $P_{i, j}$  vynásobí lokálně submatici  $\mathcal{A}$  a subvektor  $\vec{x}$ .
- Fáze 4:** **for all**  $i = 1, \dots, \sqrt{p}$  **do\_in\_parallel**  
procesory  $P_{i, *}$  v řádku  $i$  provedou paralelní redukci,  
kde kořenem redukčního stromu je pravý krajní procesor  $P_{i, \sqrt{p}}$ .



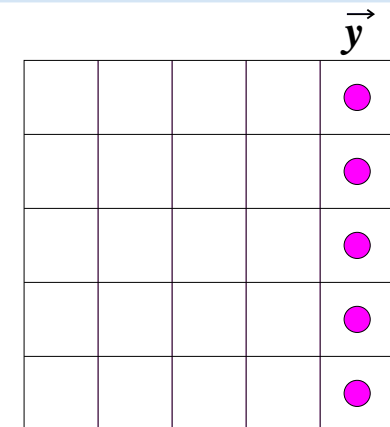
Fáze 1



Fáze 2

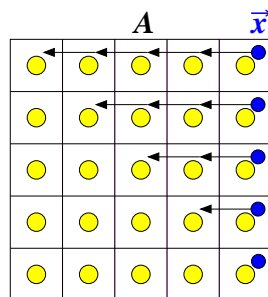


Fáze 4

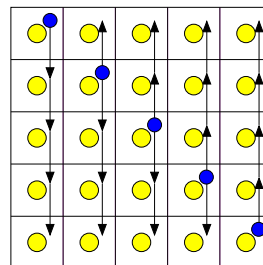


Hotovo

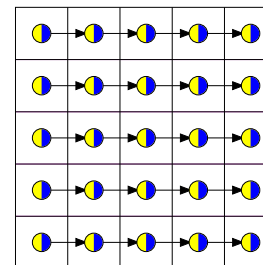
- Každý procesor má přiřazenou  $(\sqrt{\frac{N}{p}} \times \sqrt{\frac{N}{p}})$ -submatici.
- Fáze 3:  $T_3 = k_3 \frac{N}{p}$  paralelních aritmetických operací.
- Složitost fáze 1 je řádově stejná (SF) nebo nižší (WH) než fáze 2 (tudíž lze zanedbat).
- Složitost fáze 2  $\doteq$  řádová složitost fáze 4.
- Fáze 2 = OAB  $\sqrt{\frac{N}{p}}$  čísel: opět závisí na topologii a HW propojovací síť
  - SF mřížka  $M(\sqrt{p}, \sqrt{p})$ :  $T_2 = k_2 2\sqrt{p} \sqrt{\frac{N}{p}} = 2k_2 \sqrt{N} \implies$  stejného řádu jako u algoritmu ROWWISEMVM, čili  $E(N, p) \geq E_0$ , jestliže  $\frac{\sqrt{N}}{p} \geq \text{konst.}$
  - $Q_{\log p}$ :  $T_2 = k_2 \log p \sqrt{\frac{N}{p}}$ 
    - $\implies T(N, p) \doteq 2T_2(N, p) + T_3(N, p) = k'_2 \log p \sqrt{\frac{N}{p}} + k_3 \frac{N}{p}$
    - $\implies E(N, p) \geq E_0 \iff N \geq \alpha^2 p \log^2 p \text{ a } p \leq \frac{\beta^2 N}{4 \log^2(\beta \sqrt{N})}, \text{ kde } \alpha = \frac{1}{\beta} = \frac{E_0 k'_2}{(1-E_0)k_3}.$



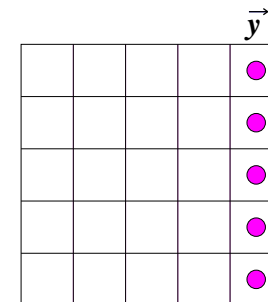
Fáze 1



Fáze 2



Fáze 4



Hotovo

## MMM: naivní algoritmus

- $A = (m \times l)$ -matice a  $B = (l \times n)$ -matice  $\implies p = mln$  procesorů,  $N = ml + ln$ .

### Algoritmus $\text{NAIVEMMM}(A, B, C)$

**Fáze 1:** **for all**  $i, j, k$  **do\_in\_parallel**,  
procesor  $P_{i,j,k}$  vypočítá součin  $a_{i,j}b_{j,k}$ .

**Fáze 2:** **for all**  $i, k$  **do\_in\_parallel**,  
procesory  $P_{i,*,k}$  pomocí paralelní redukce s kořenem redukčního stromu v  $P_{i,1,k}$   
vypočtou  $c_{i,k} = \sum_{j=1}^l a_{i,j}b_{j,k}$ .

- Příklady časů:  $O(l)$  na SF 3-D mřížce  $M(m, l, n)$  a  $O(\log l)$  na hyperkrychli  $Q_{\log p}$  nebo na WH 3-D mřížce, a proto  $E(N, p) = \Theta(1/\sqrt[3]{p})$  na 3-D mřížce a  $E(N, p) = \Theta(1/\log p)$  na hyperkrychli.
- Škálování:  $p' = m'l'n' < p$  & blokové mapování matic na  $M(m', l', n')$ .
- Počáteční rozeslání matic: nejvýše stejná složitost jako má fáze 2.

- $(n \times n)$ -matice  $\mathcal{C} = \mathcal{A}\mathcal{B}$  na  $M(\sqrt{p}, \sqrt{p})$ ,  $\sqrt{p} \leq n$ : blokově šachovnicové mapování

## Algoritmus STANDARDMMM( $\mathcal{A}, \mathcal{B}, \mathcal{C}$ )

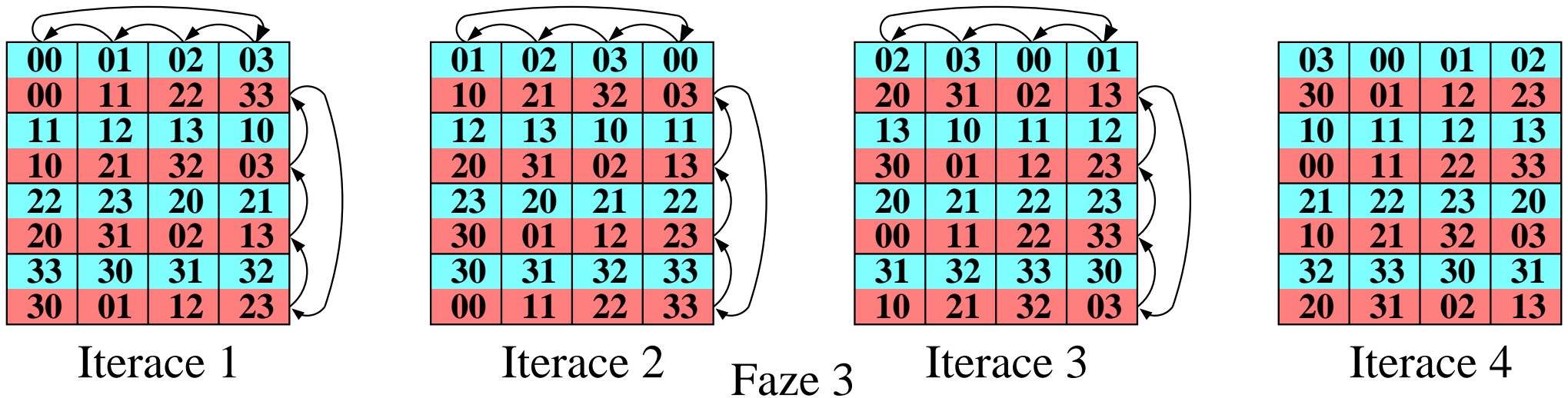
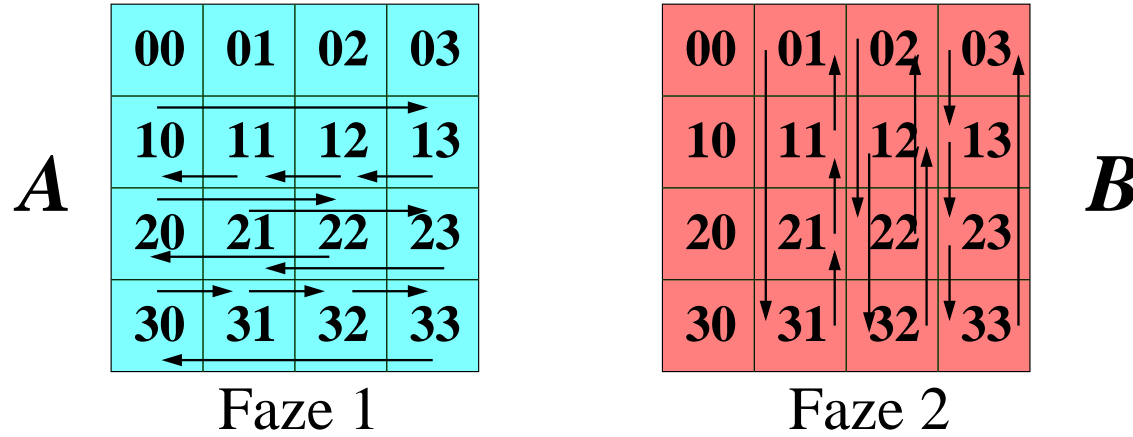
- Fáze 1:** **for all**  $i = 1, \dots, \sqrt{p}$  **do\_in\_parallel**,  
procesory  $P_{i,*}$  v  $i$ -tém řádku virtuální mřížky provedou operaci AAB,  
ve které  $P_{i,j}$  vysílá svou submatici  $\mathcal{A}_{i,j}$ .
- Fáze 2:** **for all**  $k = 1, \dots, \sqrt{p}$  **do\_in\_parallel**,  
procesory  $P_{*,k}$  v  $k$ -tém sloupci virtuální mřížky provedou operaci AAB,  
ve které  $P_{j,k}$  vysílá svou submatici  $\mathcal{B}_{j,k}$ .
- Fáze 3:** **for all**  $i, k = 1, \dots, \sqrt{p}$  **do\_in\_parallel**,  
 $P_{i,k}$  vypočítá  $\mathcal{C}_{i,k} = \sum_{j=1}^{\sqrt{p}} \mathcal{A}_{i,j} \mathcal{B}_{j,k}$ .

- Předpokládáme-li SF 2-D mřížku a  $N = n^2$ , pak

$$T(N, p) = O\left(\frac{N}{p}\sqrt{p} + \frac{N}{p}\sqrt{N}\right), \text{ a proto } E(N, p) = \Theta\left(\frac{\sqrt{N}}{\sqrt{N} + \sqrt{p}}\right).$$

$\implies \psi_2(N) = N$ , což značí ideální škálovatelnost.

- **Paměťově neefektivní:** potřebuje celkem  $\sqrt{p} \times$  více paměti než sekvenční alg.



Cannonův algoritmus násobení matic na  $T(4, 4)$ .

## Algoritmus CANNONMMM( $\mathcal{A}, \mathcal{B}, \mathcal{C}$ )

Fáze 1: **for all**  $i = 1, \dots, \sqrt{p}$  **do\_in\_parallel**  
všechny submatice  $\mathcal{A}_{i,*}$  v řádku  $i$  se orotují o  $i - 1$  pozic doleva;

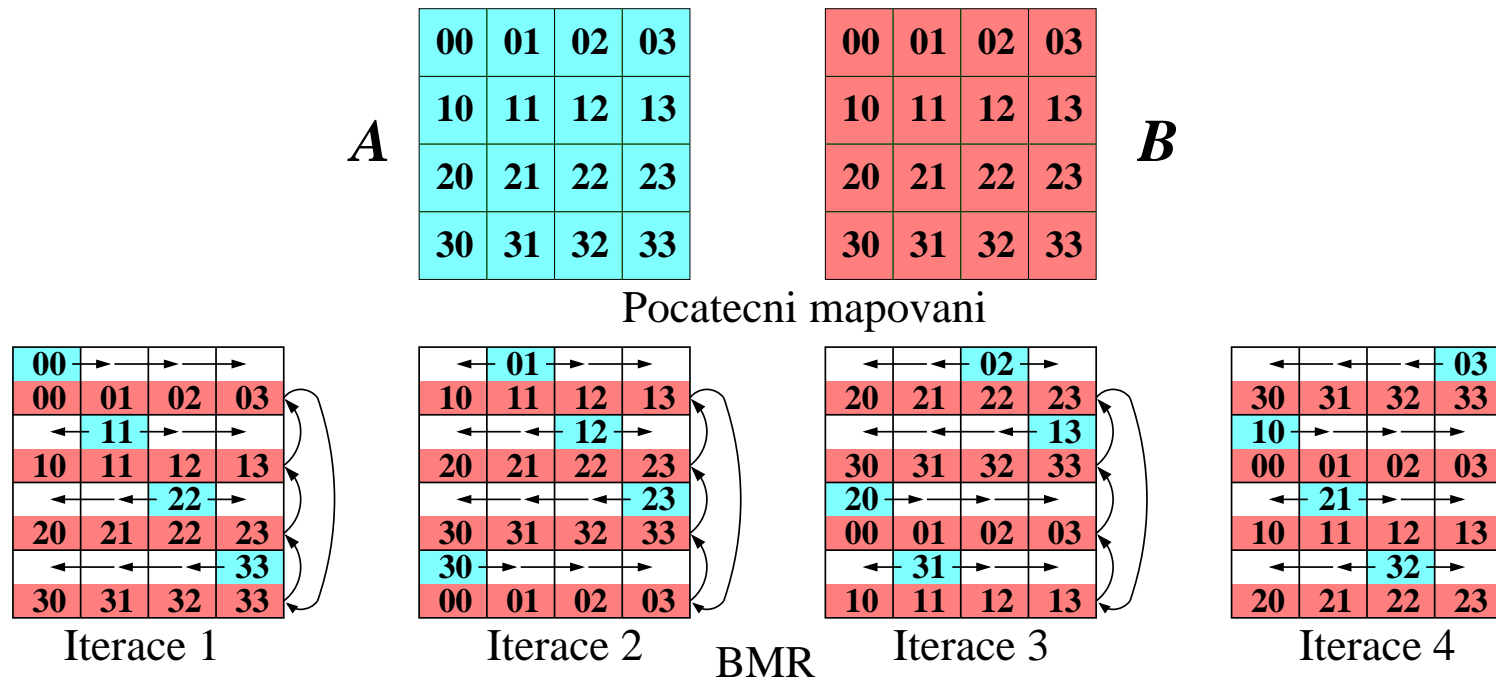
Fáze 2: **for all**  $k = 1, \dots, \sqrt{p}$  **do\_in\_parallel**  
všechny submatice  $\mathcal{B}_{*,k}$  v sloupci  $k$  se orotují o  $k - 1$  pozic nahoru;  
(\* viz permutace cyklický posun v přednášce 9 \*)

Fáze 3: **repeat**  $\sqrt{p}$  **times**  
{ **for all**  $i, k = 1, \dots, \sqrt{p}$  **do\_in\_parallel**  
 $P_{i,k}$  vynásobí momentální submatice  $\mathcal{A}$  a  $\mathcal{B}$  a přičte výsledek do  $\mathcal{C}_{i,k}$ ;  
**for all**  $i = 1, \dots, \sqrt{p}$  **do\_in\_parallel**  
všechny submatice  $\mathcal{A}_{i,*}$  v řádku  $i$  se orotují o 1 pozici doleva;  
**for all**  $k = 1, \dots, \sqrt{p}$  **do\_in\_parallel**  
všechny submatice  $\mathcal{B}_{*,k}$  v sloupci  $k$  se orotují o 1 pozici nahoru; }

## Časová složitost a škálovatelnost

Příklad: Všeportová WH hyperkrychle  $Q_{\log p} \implies$

$$T_{\text{Cannon}}(N, p) \doteq O(t_s \sqrt{p}) + O\left(\frac{N}{\sqrt{p}} t_m\right) + O\left(\frac{n^3}{p}\right).$$



## Algoritmus FoxMMM( $\mathcal{A}, \mathcal{B}, \mathcal{C}$ )

**for all**  $j = 1, \dots, \sqrt{p}$  **do\_sequentially**

  { **for all**  $i = 1, \dots, \sqrt{p}$  **do\_in\_parallel**

$P_{i,(i+j) \bmod \sqrt{p}}$  rozešle submatici  $\mathcal{A}_{i,(i+j) \bmod \sqrt{p}}$  v rámci řádku  $i$  (OAB);

**for all**  $i, k = 1, \dots, \sqrt{p}$  **do\_in\_parallel**

$P_{i,k}$  přičte k  $\mathcal{C}_{i,k}$  součin přijatých submatic  $\mathcal{A}$  a  $\mathcal{B}$ ;

**for all**  $k = 1, \dots, \sqrt{p}$  **do\_in\_parallel**

    všechny submatice  $\mathcal{B}_{*,k}$  v sloupci  $k$  se orotují o 1 pozici nahoru; }

Časová složitost a škálovatelnost podobná.



- Řešení soustavy lineárních rovnic (SLR) s regulární čtvercovou  $(n \times n)$ -maticí  $\mathcal{A}$  pro 1 nebo více pravých stran  $\vec{b}$ .
  - Metody řešení se liší podle typů matic: husté vs. řídké, dobře vs. špatně podmíněné, symetrické vs. nesymetrické, pozitivně definitní vs. indefinitní ap.
  - Základní skupiny metod jsou:
    - \* přímé metody (finitní): pro husté matice,
    - \* iterační: pro řídké matice,
    - \* gradientní: pro řídké matice.
    - \* speciální: pro speciální matice
- Výpočet inverzní matice.
- Výpočet determinantu.
- Hledání vlastních čísel a vektorů.

$$\begin{array}{rcl}
 (f_1x_0 +) g_1x_1 + h_1x_2 & & = b_1 \\
 f_2x_1 + g_2x_2 + h_2x_3 & & = b_2 \\
 \dots\dots\dots & & \\
 f_ix_{i-1} + g_ix_i + h_ix_{i+1} & & = b_i \\
 \dots\dots\dots & & \\
 f_nx_{n-1} + g_nx_n (+h_nx_{n+1}) & = & b_n
 \end{array}$$

Myšlenka **sudo-liché redukce**:

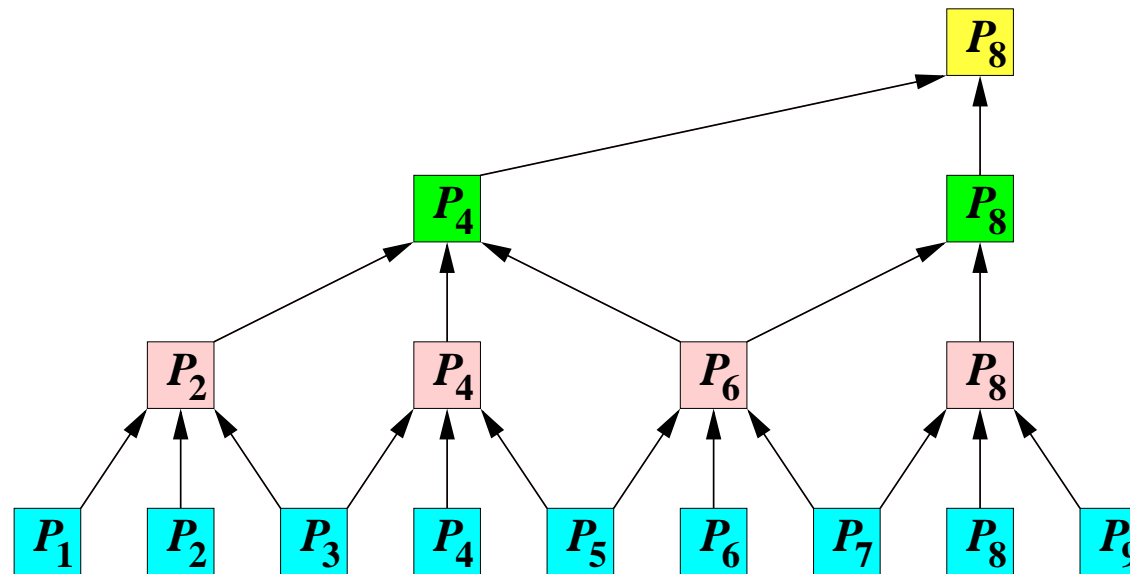
- Jestliže  $\forall i; g_i \neq 0$ , pak

$$x_i = \frac{1}{g_i}(b_i - f_ix_{i-1} - h_ix_{i+1}).$$

- Substituuji tyto výrazy za  $x_i$  s **lichým**  $i$   
 $\implies$  nový tridiagonální SLR s proměnnými  $x_2, x_4, \dots$  a s rovnicemi ve tvaru

$$- \left( \frac{f_i f_{i-1}}{g_{i-1}} \right) x_{i-2} + \left( g_i - \frac{h_{i-1} f_i}{g_{i-1}} - \frac{h_i f_{i+1}}{g_{i+1}} \right) x_i - \left( \frac{h_i h_{i+1}}{g_{i+1}} \right) x_{i+2} = b_i - \frac{f_i}{g_{i-1}} b_{i-1} - \frac{h_i}{g_{i+1}} b_{i+1}.$$

- Počet rovnic a neznámých proměnných klesnul na **jednu polovinu**.
- $SU(n) = O(n)$



- Po  $k$  paralelních redukcích:  $P_{j2^k}$  komunikuje s  $P_{(j+1)2^k}$ .
- SF  $M(n)$ : celková komunikační složitost v  $\lceil \log n \rceil$  krocích je  $\Theta(n) = \Theta(SU(n))$ .
- SF síť  $G$ : celková komunikační složitost  $\approx \text{diam}(G)$ .
- SF  $Q_n$ : BRGC  $\implies$  konstantní komunikační složitost/krok:  
 $\varrho(G_n(j2^k), G_n((j+1)2^k)) \leq 2!!!$
- WH  $M(n)$ : konstantní komunikační složitost/krok.
- **Škálovatelnost**: řádkově blokové mapování na hyperkrychli  $n$ . WH síti  $\implies$   
 $T(n, p) = O(n/p + n/(2p) + n/(4p) + \dots + n/(2^{\log_k p} p) + 1 + \dots + 1)$ , kde  $k = \log(n/p)$   
 $\implies T(n, p) = O(2n/p + \log p) \implies$  dobrá škálovatelnost, jako u PPS algoritmu.

**Definice 1.** *Elementární řádkové operace (EŘO):*

1. *prohození 2 řádků matice,*
2. *vynásobení/vydělení řádku konstantou,*
3. *přičtení násobku 1 řádku k jinému řádku.*

**Gaussova eliminace při řešení  $\mathcal{A}\vec{x} = \vec{b}$**

$$\begin{bmatrix} a_{1,1} & a_{1,2} & \dots & a_{1,n} \\ a_{2,1} & a_{2,2} & \dots & a_{2,n} \\ \vdots & \vdots & \ddots & \vdots \\ a_{n,1} & a_{n,2} & \dots & a_{n,n} \end{bmatrix} \begin{bmatrix} x_1 \\ x_2 \\ \vdots \\ x_n \end{bmatrix} = \begin{bmatrix} b_1 \\ b_2 \\ \vdots \\ b_n \end{bmatrix}$$

■ Vytvoříme rozšířenou matici  $\mathcal{A}'$

$$\begin{bmatrix} a_{1,1} & a_{1,2} & \dots & a_{1,n} & b_1 \\ a_{2,1} & a_{2,2} & \dots & a_{2,n} & b_2 \\ \vdots & \vdots & \ddots & \vdots & \vdots \\ a_{n,1} & a_{n,2} & \dots & a_{n,n} & b_n \end{bmatrix}$$

- Postupnou aplikací EŘO transformujeme  $\mathcal{A}'$  na tvar

$$\begin{bmatrix} a'_{1,1} & a'_{1,2} & \dots & a'_{1,n} & b'_1 \\ 0 & a'_{2,2} & \dots & a'_{2,n} & b'_2 \\ \vdots & \vdots & \ddots & \vdots & \vdots \\ 0 & 0 & \dots & a'_{n,n} & b'_n \end{bmatrix}$$

- Provedením **zpětné substituce**

$$x_i = \frac{1}{a'_{i,i}} \left( b'_i - \sum_{j=i+1}^n a'_{i,j} x_j \right)$$

vypočteme postupně  $x_n, x_{n-1}, \dots, x_1$ .

## Algoritmus GAUSSELIM( $\mathcal{A}$ , $\vec{x}$ , $\vec{b}$ )

**for**  $i := 0, \dots, n - 1$  **do\_sequentially**

(1) **if** ( $a_{i,i} = 0$  &  $\forall j > i; a_{j,i} = 0$ ) **then** *Exit(Neřešitelné)*

(2) **if** ( $a_{i,i} = 0$  &  $\exists j > i; a_{j,i} \neq 0$ ) **then**

vyber **hlavní prvek** (*pivot*) (\* nechť je na řádku  $j$  \*)

prohod' řádek  $i$  a řádek  $j$  (\* nyní  $a_{i,i} \neq 0$  \*)

(3) vyděl řádek  $i$  prvkem  $a_{i,i}$  (\*  $n - i$  operací dělení \*)

(4) vynuluj sloupec  $i$  pod diagonálou odčítáním násobků řádku  $i$  od řádků  $i + 1, \dots, n$ .  
(\* přibližně  $(n - i)^2$  operací násobení a odčítání \*)

## Sekvenční složitost Gaussovy eliminace

- Celkový počet operací dělení na ř. (3) je přibližně  $\sum_{i=1}^{n-1} (n - i) \doteq \frac{n^2}{2}$ .
- Celkový počet operací násobení a odčítání na ř. (4) je přibližně  $\sum_{i=1}^{n-1} (n - i)^2 \doteq \frac{n^3}{3}$ .
- Celková sekvenční složitost  $SU(n) \doteq \frac{2n^3}{3}t_{\text{mul}} + \frac{n^2}{2}t_{\text{div}}$  za předpokladu, že  $t_{\text{mul}} \doteq t_{\text{sub}}$ .

- $p = n$ : Každý procesor vlastní 1 řádek
- Paralelní operace prováděné v 1 iteraci:
  - Krok (1): paralelní redukce + OAB 1 čísla
  - Krok (2): 1-1 komunikace  $n$  čísel
  - Krok (3): lokální provedení přibližně  $n - i$  aritm. operací (žádná komunikace)
  - Krok (4): OAB řádku  $i$  + lokální provedení přibližně  $2(n - i)$  aritm. operací
- Celková // složitost:
  - Dominují kroky (3)+(4).
  - Paralelní aritm. operace:  $3 \sum_{i=1}^{n-1} (n - i) \doteq \frac{3n^2}{2}$ .
  - OAB v (4) závisí na kom. modelu. Např. WH mřížka:  $\sum_{i=1}^{n-1} ((t_s + (n - i)t_m) \log n)$ .  
 Pak:  $T(n^2, n) \doteq \frac{3n^2}{2} + t_s n \log n + \frac{1}{2} t_m n^2 \log n$
- Závěr: není efektivní: komunikační režie převyšuje výpočetní složitost
- Vysvětlení: sekvenční závislost iterací: iterace  $i + 1$  začne, až když skončí iterace  $i$
- Řešení: **systolický** (data-flow přístup), pokud řešení **nevyžaduje pivotizaci** (čili provádí se pouze kroky (3) a (4)) !!!!

- 1 iterace = 1 komunikační a výpočetní vlna. (V předchozím algoritmu se vlny nepřekrývaly.)
- Každý procesor  $P_i$  přijímá postupně řádky od  $P_{i-1}$ , přeposílá je  $P_{i+1}$  a současně je zapracovává (krok (4)).
- Jakmile dostane poslední  $(i - 1)$ -tou řádku, nečeká, až celá iterace  $i - 1$  doběhne, ale jakmile provede krok (3), okamžitě spouští další vlnu.
- $T(n^2, n) = O(n^2)$  i na fyzické 1-D mřížce.
- $p < n$ : blokově-řádkové mapování.



- Vytvoříme rozšířenou matici  $\mathcal{A}' = [\mathcal{A}|\mathcal{I}_n]$

$$\left[ \begin{array}{cccc|cccc} a_{1,1} & a_{1,2} & \dots & a_{1,n} & 1 & 0 & \dots & 0 \\ a_{2,1} & a_{2,2} & \dots & a_{2,n} & 0 & 1 & \dots & 0 \\ \vdots & \vdots & \ddots & \vdots & \vdots & \vdots & \ddots & \vdots \\ a_{n,1} & a_{n,2} & \dots & a_{n,n} & 0 & 0 & \dots & 1 \end{array} \right]$$

- Postupnou aplikací EŘO transformujeme  $\mathcal{A}'$  na tvar

$$\left[ \begin{array}{cccc|cccc} 1 & 0 & \dots & 0 & b_{1,1} & b_{1,2} & \dots & b_{1,n} \\ 0 & 1 & \dots & 0 & b_{2,1} & b_{2,2} & \dots & b_{2,n} \\ \vdots & \vdots & \ddots & \vdots & \vdots & \vdots & \ddots & \vdots \\ 0 & 0 & \dots & 1 & b_{n,1} & b_{n,2} & \dots & b_{n,n} \end{array} \right] = [\mathcal{I}_n|\mathcal{B}] = [\mathcal{I}_n|\mathcal{A}^{-1}]$$

- Paralelizace, její možnosti, efektivnosti a škálovatelnosti - naprosto analogické.

$$\begin{bmatrix} a_{1,1} & a_{1,2} & \dots & a_{1,n} \\ 0 & a_{2,2} & \dots & a_{2,n} \\ \vdots & \vdots & \ddots & \vdots \\ 0 & 0 & \dots & a_{n,n} \end{bmatrix} \begin{bmatrix} x_1 \\ x_2 \\ \vdots \\ x_n \end{bmatrix} = \begin{bmatrix} b_1 \\ b_2 \\ \vdots \\ b_n \end{bmatrix}$$

- $n = \text{počet rovnic} \implies SU(n) = O(n^2)$ .
- $p = n \ \& \ t_{\text{OAB}}(p) = \Theta(p) \text{ (SF 1-D mřížka)} \implies T(n, n) = O(n^2)$ .
- $p = n \ \& \ t_{\text{OAB}}(p) = O(\log p) \text{ (hyperkrychle, WH mřížky)} \implies T(n, n) = O(n \log n)$ .
- $p \ll n \ \& \text{cyklické mapování po řádcích} \implies n \text{ paralelních kroků} \implies$

$$T(n, p) = nO(\log p) + nO\left(\frac{n}{p}\right) = O(n \log p) + O\left(\frac{n^2}{p}\right).$$

- $p \ll n \ \& \text{blokové mapování po řádcích} \implies p \text{ paralelních kroků} \implies$

$$T(n, p) = pO\left(\frac{n^2}{p^2}\right) + pO\left(\frac{n}{p} \log p\right).$$

- $\mathcal{A}\vec{x} = \vec{b}$   
kde  $\mathcal{A} = (n \times n)$ -matice,  $\vec{b} = (n \times 1)$ -vektor, a  $\vec{x} = (n \times 1)$ -vektor  $n$  neznámých.
- (1) **LU dekompozice:**  $\mathcal{A} = \mathcal{L}\mathcal{U}$ ,  
kde  $\mathcal{L}$  = **spodní trojúhelníková** matice,  $\mathcal{U}$  = **horní trojúhelníková** matice.
- (2) **Dopředná redukce:**  $\mathcal{U}\vec{x} = \mathcal{L}^{-1}\vec{b} = \vec{y}$  (čili  $\forall \vec{b}$  řešíme  $\mathcal{L}\vec{y} = \vec{b}$ ).
- (3) **Zpětná substituce:**  $\vec{x} = \mathcal{U}^{-1}\vec{y}$  (čili  $\forall \vec{y}$  řešíme  $\mathcal{U}\vec{x} = \vec{y}$ ).

## LU dekompozice

- **Gaussova LU dekompozice:**  $\text{diag}(\mathcal{L}) = \vec{1}$ .
- **Choleskyho LU dekompozice:**  $\text{diag}(\mathcal{L}) = \text{diag}(\mathcal{U})$ .

$$\begin{matrix} & A & & L & & U \\ & & & & & \\ \begin{bmatrix} a_{11} & a_{12} & a_{13} & a_{14} \\ a_{21} & a_{22} & a_{23} & a_{24} \\ a_{31} & a_{32} & a_{33} & a_{34} \\ a_{41} & a_{42} & a_{43} & a_{44} \end{bmatrix} & = & \begin{bmatrix} 1 & & & 0 \\ l_{21} & 1 & & \\ l_{31} & l_{32} & 1 & \\ l_{41} & l_{42} & l_{43} & 1 \end{bmatrix} & \begin{bmatrix} u_{11} & u_{12} & u_{13} & u_{14} \\ & u_{22} & u_{23} & u_{24} \\ & & u_{33} & u_{34} \\ 0 & & & u_{44} \end{bmatrix} & = & 
 \end{matrix}$$

$$\begin{bmatrix}
 u_{11} & u_{12} & u_{13} & u_{14} \\
 l_{21}u_{11} & l_{21}u_{12}^+ + u_{22} & l_{21}u_{13}^+ + u_{23} & l_{21}u_{14}^+ + u_{24} \\
 l_{31}u_{11} & l_{31}u_{12}^+ + l_{32}u_{22} & l_{31}u_{13}^+ + l_{32}u_{23}^+ + u_{33} & l_{31}u_{14}^+ + l_{32}u_{24}^+ + u_{34} \\
 l_{41}u_{11} & l_{41}u_{12}^+ + l_{42}u_{22} & l_{41}u_{13}^+ + l_{42}u_{23}^+ + l_{43}u_{33} & l_{41}u_{14}^+ + l_{42}u_{24}^+ + l_{43}u_{34}^+ + u_{44}
 \end{bmatrix}$$

**Blokově-cyklicky šachovnicové mapování**  $(n \times n)$ - $\mathcal{A}$  na mřížce procesorů  $M(r, r)$ ,

$$r = \sqrt{p}, n = rsq$$

$$\left[ \begin{array}{ccc|ccc|ccc} \mathcal{A}_{1,1} & \cdots & \mathcal{A}_{1,r} & & & \mathcal{A}_{1,(q-1)r+1} & \cdots & \mathcal{A}_{1,qr} \\ \cdots & \cdots & \cdots & \cdots & & \cdots & \cdots & \cdots \\ \mathcal{A}_{r,1} & \cdots & \mathcal{A}_{r,r} & & & \mathcal{A}_{r,(q-1)r+1} & \cdots & \mathcal{A}_{r,qr} \\ \hline & \vdots & & \ddots & & & \vdots & \\ \hline \mathcal{A}_{(q-1)r+1,1} & \cdots & \mathcal{A}_{(q-1)r+1,r} & & & \mathcal{A}_{(q-1)r+1,(q-1)r+1} & \cdots & \mathcal{A}_{(q-1)r+1,qr} \\ \cdots & \cdots & \cdots & \cdots & & \cdots & \cdots & \cdots \\ \mathcal{A}_{qr,1} & \cdots & \mathcal{A}_{qr,r} & & & \mathcal{A}_{qr,(q-1)r+1} & \cdots & \mathcal{A}_{qr,qr} \end{array} \right]$$

**Mapování 2-D mřížky procesorů  $M(r, r)$  na  $\mathcal{A}$**

$$\left[ \begin{array}{ccc|ccc|ccc} P_{1,1} & \cdots & P_{1,\sqrt{p}} & & & P_{1,1} & \cdots & P_{1,\sqrt{p}} \\ \cdots & \cdots & \cdots & \cdots & & \cdots & \cdots & \cdots \\ P_{\sqrt{p},1} & \cdots & P_{\sqrt{p},r} & & & P_{\sqrt{p},1} & \cdots & P_{\sqrt{p},r} \\ \hline & \vdots & & \ddots & & & \vdots & \\ \hline P_{1,1} & \cdots & P_{1,\sqrt{p}} & & & P_{1,1} & \cdots & P_{1,\sqrt{p}} \\ \cdots & \cdots & \cdots & \cdots & & \cdots & \cdots & \cdots \\ P_{\sqrt{p},1} & \cdots & P_{\sqrt{p},r} & & & P_{\sqrt{p},1} & \cdots & P_{\sqrt{p},r} \end{array} \right]$$

### Algoritmus LUDECOMPOSITION( $\mathcal{A}$ )

**for**  $k = 1, \dots, qr$  **do\_sequentially** {

Fáze 1:  $P_{\tilde{k}, \tilde{k}}$  počítá  $\mathcal{A}_{k,k}^{-1}$ ;

Fáze 2: **for**  $j = k, \dots, qr$  **do\_in\_parallel**

$P_{\tilde{k}, \tilde{j}}$  vyšle  $\mathcal{A}_{k,k}^{-1}$  dolů v sloupci  $\tilde{k}$ , je-li  $j = k$

$P_{\tilde{k}, \tilde{j}}$  vyšle  $\mathcal{A}_{k,j}$  dolů v sloupci  $\tilde{j}$  jinak;

Fáze 3: **for**  $i = k + 1, \dots, qr$  **do\_in\_parallel**

{  $P_{\tilde{i}, \tilde{k}}$  počítá  $\mathcal{A}_{i,k} = \mathcal{A}_{k,k}^{-1} \mathcal{A}_{i,k}$ ;

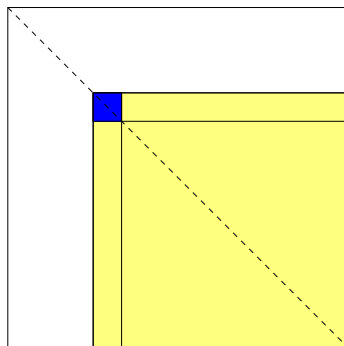
$P_{\tilde{i}, \tilde{k}}$  vyšle  $\mathcal{A}_{i,k}$  doprava v řádku  $\tilde{i}$  };

Fáze 4: **for**  $i = k + 1, \dots, qr$

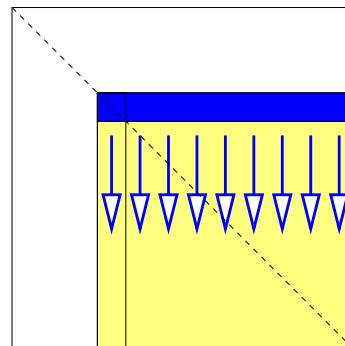
**for**  $j = k + 1, \dots, qr$  **do\_in\_parallel**

$P_{\tilde{i}, \tilde{j}}$  počítá  $\mathcal{A}_{i,j} = \mathcal{A}_{i,j} - \mathcal{A}_{i,k} \mathcal{A}_{k,j}$

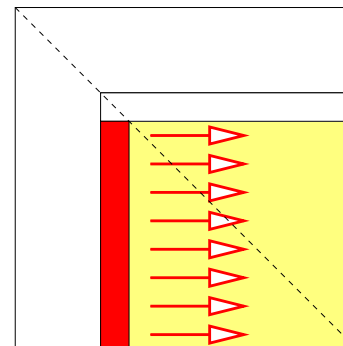
}



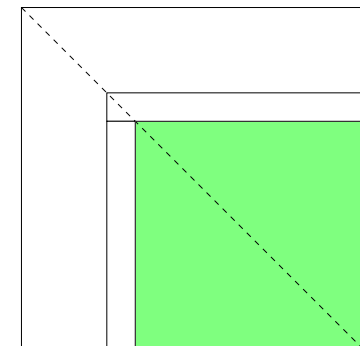
Fáze 1



Fáze 2



Fáze 3



Fáze 4

## ■ Jacobi

$$x_i(t+1) = -\frac{1}{a_{i,i}} [\sum_{j \neq i} a_{i,j} x_j(t) - b_i] \quad (1)$$

## ■ Gauss-Seidel

$$x_i(t+1) = -\frac{1}{a_{i,i}} [\sum_{j < i} a_{i,j} x_j(t+1) + \sum_{j > i} a_{i,j} x_j(t) - b_i]$$

## ■ Jacobiho superrelaxace (JOR)

$$x_i(t+1) = (1 - \gamma)x_i(t) - \frac{\gamma}{a_{i,i}} [\sum_{j \neq i} a_{i,j} x_j(t) - b_i]$$

## ■ Gauss-Seidelova superrelaxace (SOR)

$$x_i(t+1) = (1 - \gamma)x_i(t) - \frac{\gamma}{a_{i,i}} [\sum_{j < i} a_{i,j} x_j(t+1) + \sum_{j > i} a_{i,j} x_j(t) - b_i]$$

Pro účely vysvětlení paralelního řešení, přepíšeme rovnici (1) na tvar

$$x_i(t+1) = \frac{r_i(t)}{a_{i,i}} + x_i(t),$$

kde  $\vec{r}(t) = \vec{b} - \mathcal{A}\vec{x}(t)$  = **residuální (zbytkový) vektor**.

## Algoritmus PARALLELJACOBI( $\mathcal{A}, \vec{x}, \vec{b}$ )

$t := 0; \vec{x}(t) :=$  počáteční hodnota;

$\vec{r}(t) := \vec{b} - \mathcal{A}\vec{x}(t);$

(\* počáteční residuál: násobení matice vektorem \*)

**while** ( $\|\vec{r}(t)\| > \varepsilon$ ) **do\_sequentially**

(\*  $\|\vec{r}(t)\| = \sqrt{\vec{r}(t)^T \cdot \vec{r}(t)}$  = skalární součin \*)

{  $t := t + 1;$

(\* paralelní redukce + OAB \*)

**for**  $i := 0, \dots, n-1$  **do\_in\_parallel**

$x_i(t) = r_i(t-1)/a_{i,i} + x_i(t-1);$

(\*  $r_i(t-1), x_i(t-1), a_{i,i}$  musí být v 1 procesoru \*)

bariérová synchronizace;

$\vec{r}(t) = \vec{b} - \mathcal{A}\vec{x}(t);$

(\* nový residuál: násobení matice vektorem \*)

bariérová synchronizace;}

$\vec{x} := \vec{x}(t);$

Žádná datová závislost v rámci téže iterace  $\implies$  krásná paralelizovatelnost.



- Sekvenční Gauss-Seidelova metoda je rychlejší než sekvenční Jacobiho.
- **Je však inherentně sekvenční:** Je-li  $\mathcal{A}$  hustá nebo nepravidelně řídká matice, pak pro výpočet  $x_i(t+1)$  potřebujeme znát hodnoty  $x_j(t+1)$  pro všechny nebo skoro všechny  $j < i$ .
- Tuto nesnáz lze často obejít, je-li matice  $\mathcal{A}$  je řídká a speciálního typu.
- Toto je případ většiny matic vzniklých při **diskretizaci parciálních dif. rovnic**.
- Diskretizaci lze provést metodou
  - konečných diferencí,
  - konečných prvků (FEM).

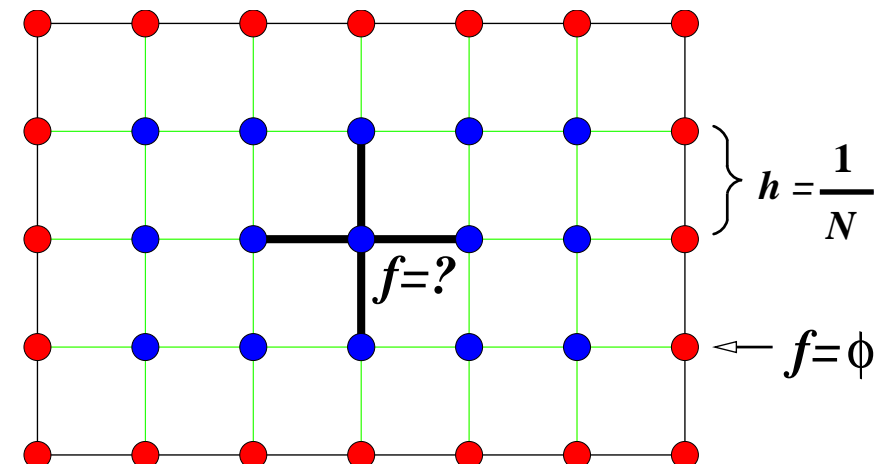
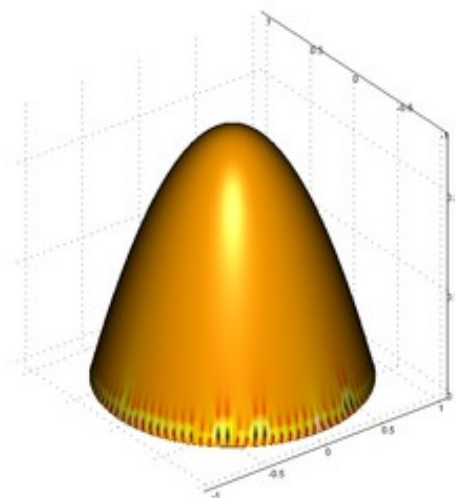
**Poissonova rovnice** = lineární parciální diferenciální rovnice

$$\frac{\partial^2 f}{\partial x^2}(x, y) + \frac{\partial^2 f}{\partial y^2}(x, y) = g(x, y), \quad (x, y) \in D = [a, b] \times [c, d], \quad (2)$$

kde  $g : D \rightarrow \mathbb{R}$  je známá funkce.

**Úkolem** je nalézt funkci  $f : D \rightarrow \mathbb{R}$  takovou, že

- (a) splní rovnici (2),
- (b) na okraji oblasti  $D$  má předepsané hodnoty  $\varphi$ .



- **Síťka**  $(N + 1)^2$  rovnoměrně rozmístěných **bodů** v oblasti  $D$ ,  $h = 1/N$ ,

$$f_{i,j} = f\left(\frac{i}{N}, \frac{j}{N}\right), \quad 0 \leq i, j \leq N,$$

$$g_{i,j} = g\left(\frac{i}{N}, \frac{j}{N}\right), \quad 0 < i, j < N.$$

- Aproximace:

$$\frac{\partial^2 f}{\partial x^2}(x, y) \approx \frac{1}{h^2} [f(x + h, y) - 2f(x, y) + f(x - h, y)],$$

$\implies$  Rovnice (2)  $\rightarrow$  SLR  $(N - 1)^2$  rovnic s  $(N - 1)^2$  neznámými  $f_{i,j}$

$$f_{i,j} = \frac{1}{4} \left[ f_{i+1,j} + f_{i-1,j} + f_{i,j+1} + f_{i,j-1} - \frac{1}{N} g_{i,j} \right] \quad (3)$$

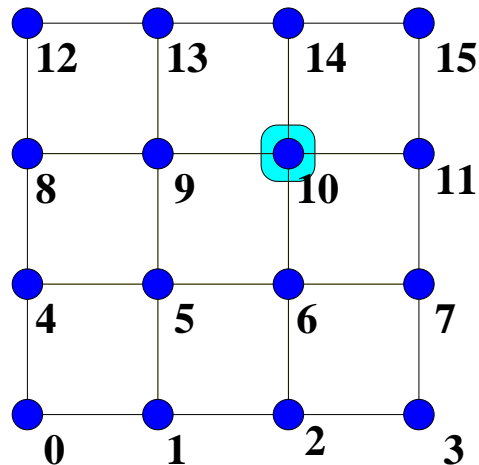
- $\mathcal{A} \vec{x} = \vec{b}$ , kde

- $\mathcal{A}$  = matice typu  $(N - 1)^2 \times (N - 1)^2$ ,
- $\vec{x}$  = vektor  $(N - 1)^2$  neznámých hodnot  $f_{i,j}$  na vnitřních bodech sítě,
- $\vec{b}$  = vektor hodnot závislých na  $g_{i,j}$  a na známých okrajových podmínkách  $f$ .

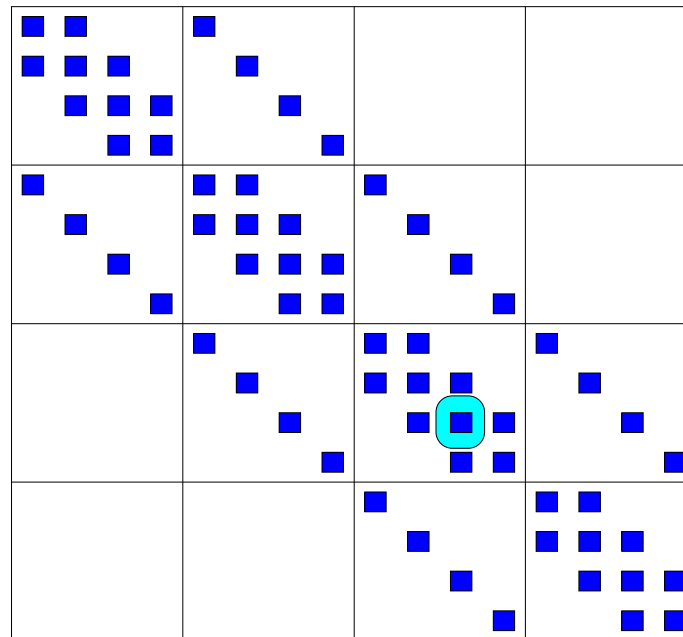
Matice  $\mathcal{A}$  = speciální & řádká = **blokově tri-diagonální**.

$$\mathcal{A} = \begin{bmatrix} \mathcal{R} & \mathcal{E} & 0 & \dots & \dots & 0 \\ \mathcal{E} & \mathcal{R} & \mathcal{E} & 0 & \dots & \\ 0 & \mathcal{E} & \mathcal{R} & \mathcal{E} & \dots & 0 \\ \vdots & & \ddots & \ddots & \ddots & \\ \vdots & & & \ddots & \ddots & \mathcal{E} \\ 0 & \dots & \dots & 0 & \mathcal{E} & \mathcal{R} \end{bmatrix}, \quad \mathcal{R} = \begin{bmatrix} -4 & 1 & 0 & \dots & \dots & 0 \\ 1 & -4 & 1 & 0 & \dots & \\ 0 & 1 & -4 & 1 & \dots & 0 \\ \vdots & & \ddots & \ddots & \ddots & \\ \vdots & & & \ddots & \ddots & 1 \\ 0 & \dots & \dots & 0 & 1 & -4 \end{bmatrix},$$

a  $\mathcal{E}$  = jednotková matice.



(a)



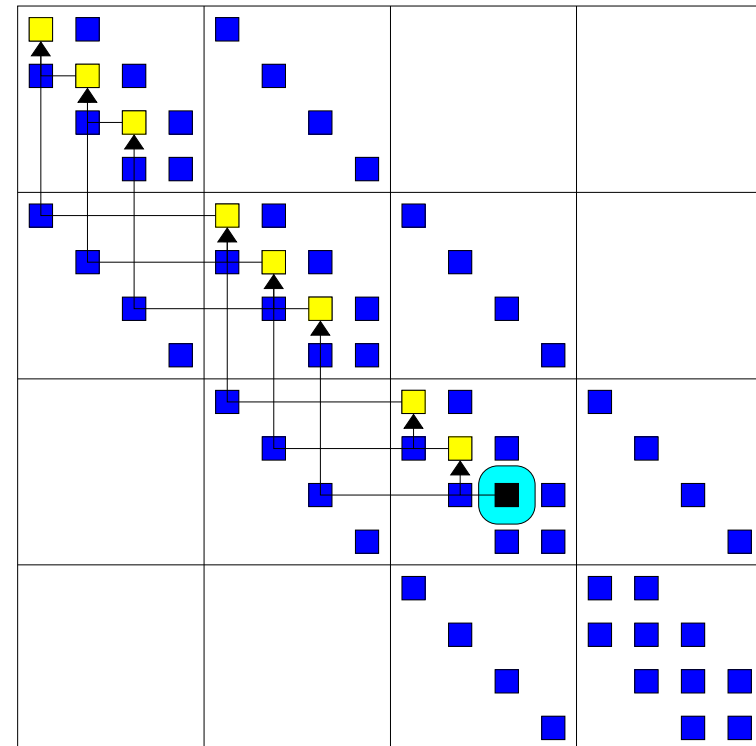
(b)

Bez problému: číslování bodů mřížky je **nepodstatné**.

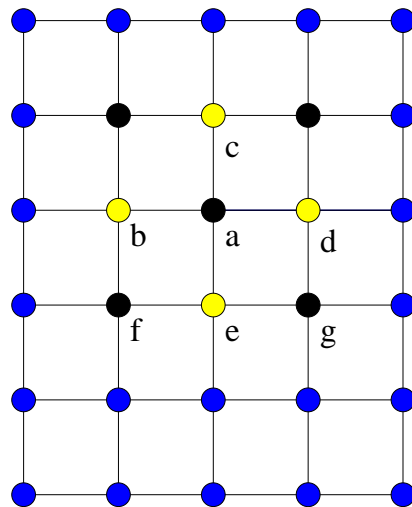
$$f_{i,j}(t+1) = \frac{1}{4} \left[ f_{i+1,j}(t) + f_{i-1,j}(t) + f_{i,j+1}(t) + f_{i,j-1}(t) - \frac{1}{N} g_{i,j} \right]. \quad (4)$$

## Paralelní Gauss-Seidelův algoritmus

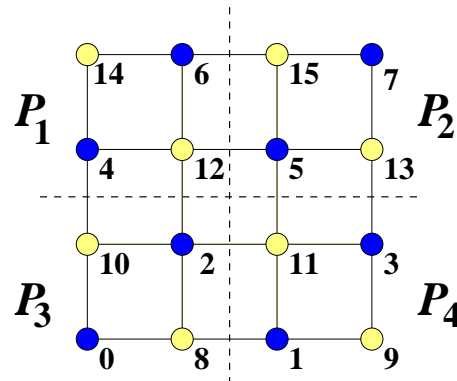
**Číslování** má dopad na datové závislosti, a tudíž na paralelismus:



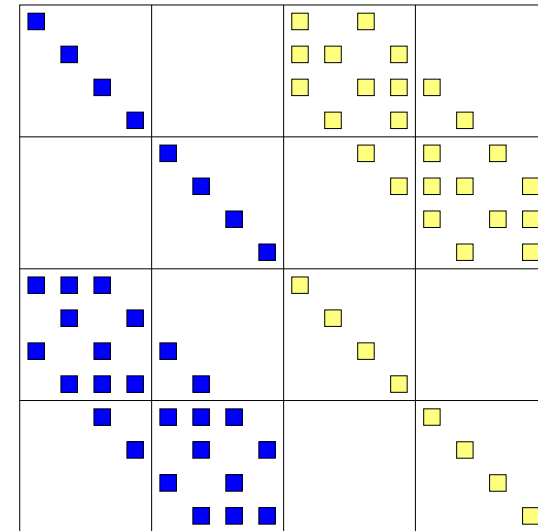
Číslování indukované 2-barvením založeným na paritě



(a)



(b)



(c)

**Algoritmus**  $\text{PARALLELGS}(\mathcal{A}, \vec{x}, \vec{b})$

**repeat**

**Fáze 0:** proved' výpočet (4) na všech **modrých** bodech paralelně;

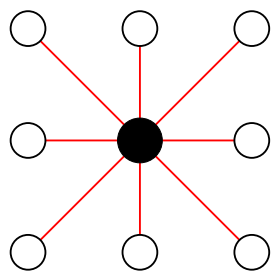
**Fáze 1:** proved' výpočet (4) na všech **žlutých** bodech paralelně;

**until** (není dosaženo dostatečně přesné řešení)

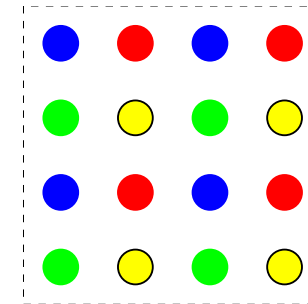
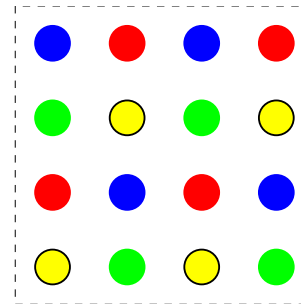
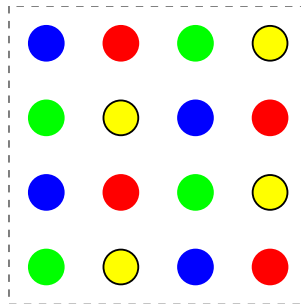
$$\frac{\partial^2 f}{\partial x^2}(x, y) + \frac{\partial^2 f}{\partial y^2}(x, y) + \frac{\partial^2 f}{\partial x \partial y}(x, y) = g(x, y)$$

⇒ 9-bodová diskretizace

∃ pouze 3 různá barvení 2-D sítky pomocí 4 barev, odpovídající této diskretizaci.



(a)



(b)

4-fázový paralelní Gauss-Seidelův algoritmus:

**repeat**

proved' výpočet na všech **červených** bodech paralelně;

proved' výpočet na všech **modrých** bodech paralelně;

proved' výpočet na všech **zelených** bodech paralelně;

proved' výpočet na všech **žlutých** bodech paralelně;

**until** (není dosaženo dostatečně přesné řešení)